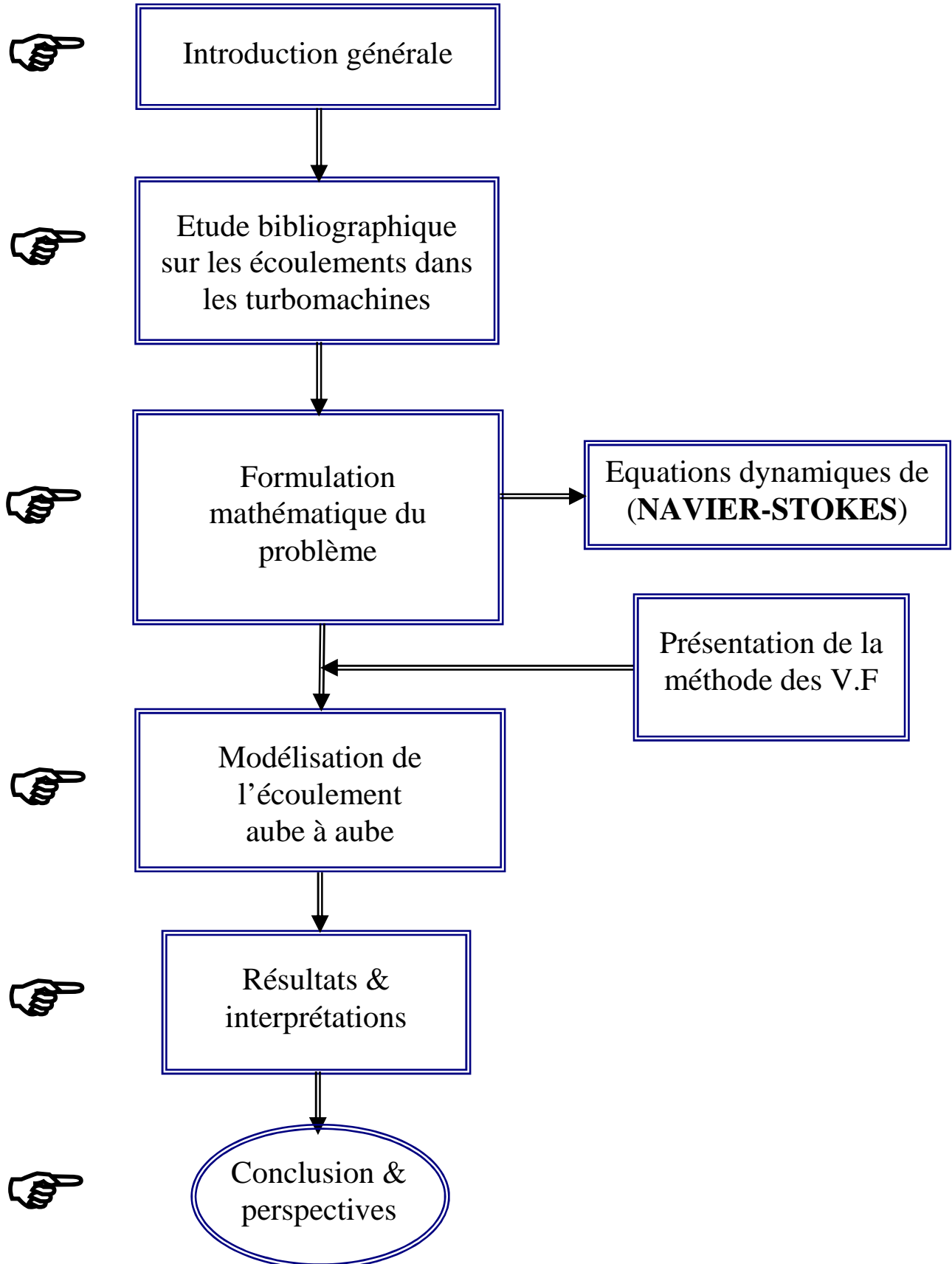
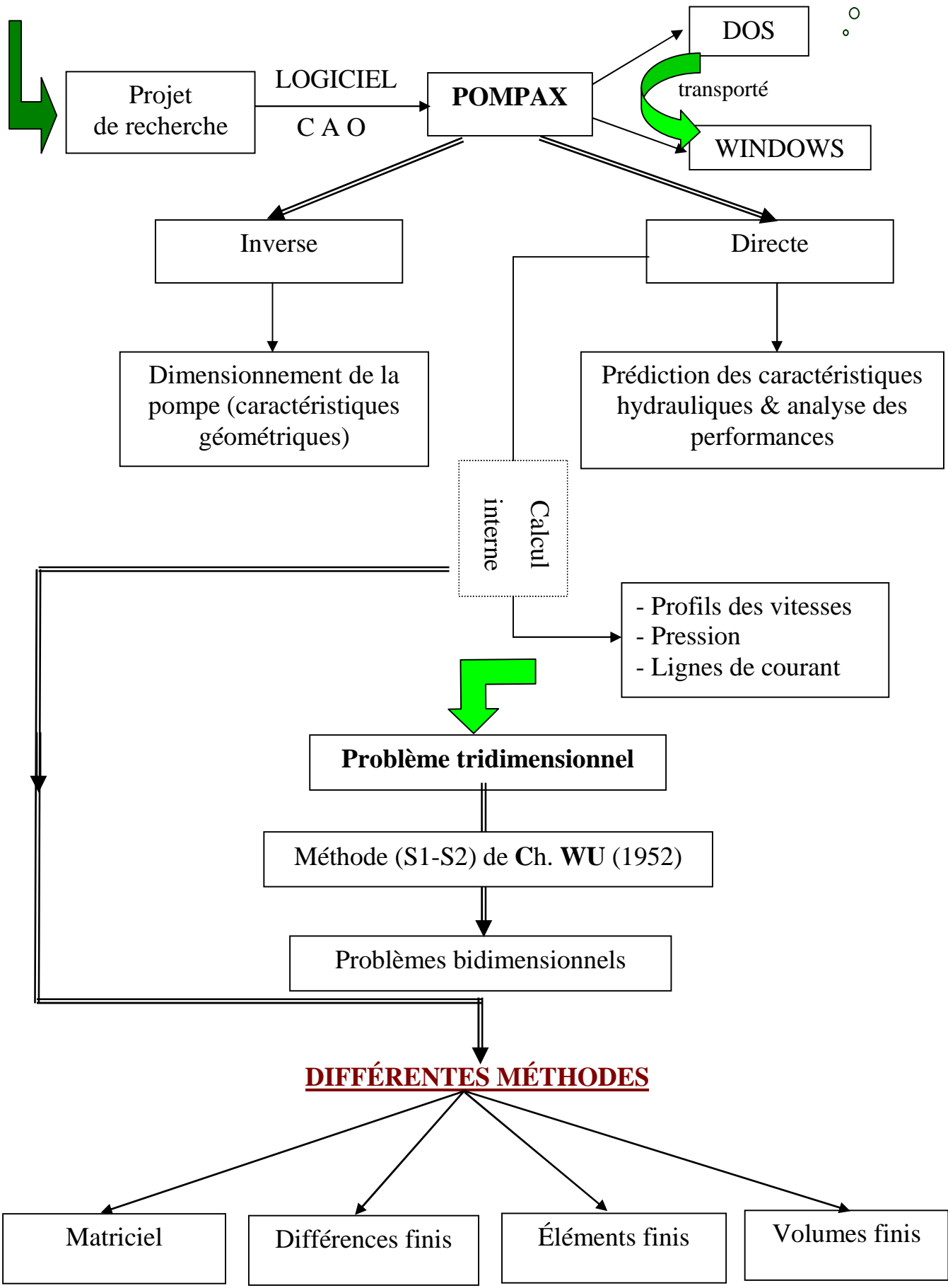


PLAN DE L'EXPOSÉ



INTRODUCTION ET POSITION DU PROBLÈME

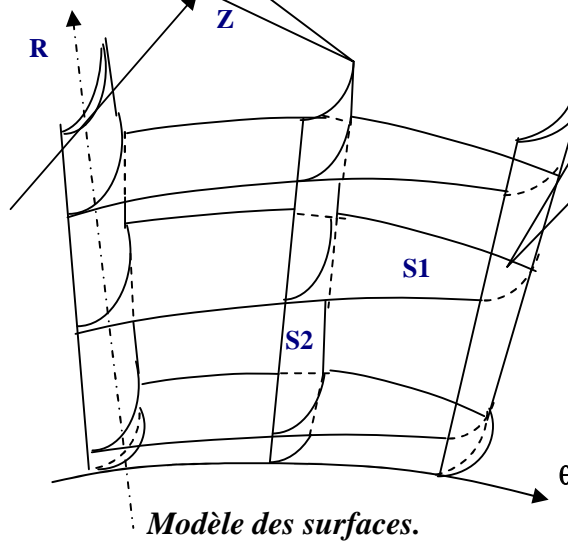


DECOMPOSITION DE L'ÉCOULEMENT TRIDIMENSIONNEL EN DEUX ÉCOULEMENTS

BIDIMENSIONNELS

surfaces de courant
 générées par des
 particules situées
 sur une droite
 perpendiculaire à
 l'axe de rotation.

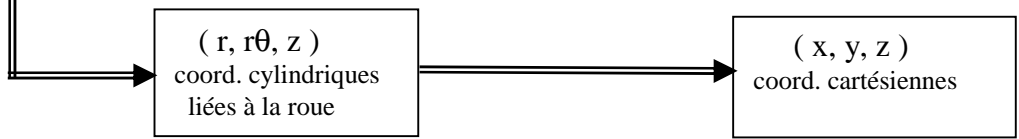
surfaces de courant
 générées par des
 particules situées
 sur des cercles
 centrés sur l'axe de
 rotation de la
 machine.



Étude de l'écoulement aube-à-aube (S1).

EQUATIONS DE BASE

Changement de repère suivant



EQUATION DE CONTINUITE

$$\frac{D\rho}{Dt} + \rho \vec{\nabla} \cdot \vec{V} = 0$$

$$\frac{D}{Dt} = \frac{\partial}{\partial t} + \vec{V} \cdot \vec{\nabla}$$

EQUATIONS DE QUANTITE DE MOUVEMENT

$$\mathbf{N} = C^{te}$$

$$\gamma_{tag} = 0.$$

Les équations de **NAVIER-STOKES** s'écrivent

$$\begin{cases} \rho \cdot \frac{Du}{Dt} = \rho \cdot f_x + \mu \left(\frac{\partial^2 u}{\partial x^2} + \frac{\partial^2 u}{\partial y^2} + \frac{\partial^2 u}{\partial z^2} \right) + \frac{\mu}{3} \cdot \frac{\partial}{\partial x} \left(\frac{\partial u}{\partial x} + \frac{\partial v}{\partial y} + \frac{\partial w}{\partial z} \right) - \frac{\partial p}{\partial x} \\ \rho \cdot \frac{Dv}{Dt} = \rho \cdot f_y + \mu \left(\frac{\partial^2 v}{\partial x^2} + \frac{\partial^2 v}{\partial y^2} + \frac{\partial^2 v}{\partial z^2} \right) + \frac{\mu}{3} \cdot \frac{\partial}{\partial y} \left(\frac{\partial u}{\partial x} + \frac{\partial v}{\partial y} + \frac{\partial w}{\partial z} \right) - \frac{\partial p}{\partial y} \\ \rho \cdot \frac{Dw}{Dt} = \rho \cdot f_z + \mu \left(\frac{\partial^2 w}{\partial x^2} + \frac{\partial^2 w}{\partial y^2} + \frac{\partial^2 w}{\partial z^2} \right) + \frac{\mu}{3} \cdot \frac{\partial}{\partial z} \left(\frac{\partial u}{\partial x} + \frac{\partial v}{\partial y} + \frac{\partial w}{\partial z} \right) - \frac{\partial p}{\partial z} \end{cases}$$

$$\rho \frac{DV}{Dt} = \rho \cdot f_i + \mu \cdot \Delta V - \nabla p \quad i=x,y,z$$

Hypothèses simplificatrices

- Fluide incompressible ($\rho = c^{te}$).
- Modélisation du plan (S1) de Ch. WU.
(écoulement bidimensionnel stationnaire).
- Les forces de volume sont négligées.

Equation de continuité :

$$\frac{\partial u}{\partial x} + \frac{\partial v}{\partial y} = 0$$

Equation de quantité de mouvement :

$$\begin{cases} \rho \left(u \frac{\partial u}{\partial x} + v \frac{\partial u}{\partial y} \right) = - \frac{\partial p}{\partial x} + \mu \left(\frac{\partial^2 u}{\partial x^2} + \frac{\partial^2 u}{\partial y^2} \right) \\ \rho \left(u \frac{\partial v}{\partial x} + v \frac{\partial v}{\partial y} \right) = - \frac{\partial p}{\partial y} + \mu \left(\frac{\partial^2 v}{\partial x^2} + \frac{\partial^2 v}{\partial y^2} \right) \end{cases}$$

MODÉLISATION DE L'ÉCOULEMENT AUBE A AUBE

ETUDE DU CHAMP DYNAMIQUE

$$\frac{\partial(\rho u_i)}{\partial x_i} = 0$$

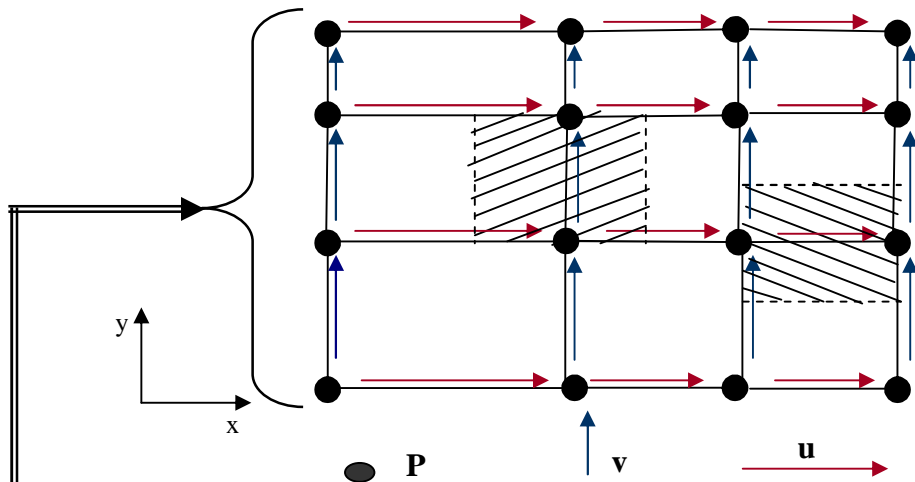
$$\rho u_i \cdot \frac{\partial \phi}{\partial x_i} = \frac{\partial}{\partial x_i} \left(\mu \frac{\partial \phi}{\partial x_i} \right) + s ; i=1,2$$

$$\phi = u, v$$

$$s = -\frac{\partial p}{\partial x_i}$$

DISCRETISATION DES EQUATIONS

MAILLAGE



Représentation du maillage décalé.

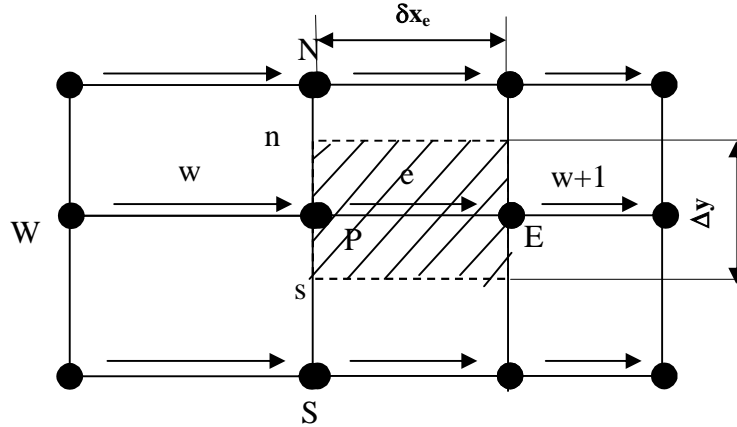
Lois du maillage

$$\Delta y = \frac{Pas}{(m_1 + 1) \cdot m_1}$$

$$\Delta y(i) = \frac{Pas(i)}{(m_1 + 1) \cdot m_1}$$

EQUATIONS DU MOUVEMENT

Composante suivant l'axe x : ($\phi=u$)



Représentation du volume de contrôle $-U_e$.

$$\rho u \cdot \frac{\partial u}{\partial x} - \mu \cdot \frac{\partial^2 u}{\partial x^2} + \rho v \cdot \frac{\partial u}{\partial y} - \mu \cdot \frac{\partial^2 u}{\partial y^2} = -\frac{\partial p}{\partial x}$$

$$\frac{\partial J_x}{\partial x} + \frac{\partial J_y}{\partial y} = -\frac{\partial p}{\partial x}$$

$$\begin{cases} J_x = \rho u \cdot u - \mu \cdot \frac{\partial u}{\partial x} \\ J_y = \rho v \cdot u - \mu \cdot \frac{\partial u}{\partial y} \end{cases}$$

Intégration autour de u_e :
($\delta x_e \cdot \Delta y$)

$$\rightarrow (J_{Ex} - J_{Px}) \cdot \Delta y + (J_{ny} - J_{sy}) \cdot \delta x_e = (p_P - p_E) \cdot \Delta y$$

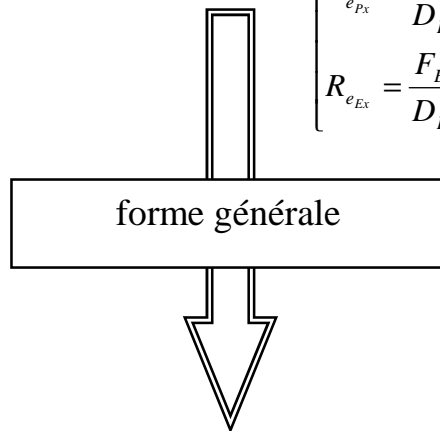
$$\begin{cases} J_{Ex} = (\rho u)_E \cdot u_E - \left(\mu \cdot \frac{\partial u}{\partial x} \right)_E \\ J_{Px} = (\rho u)_P \cdot u_P - \left(\mu \cdot \frac{\partial u}{\partial x} \right)_P \\ J_{ny} = (\rho v)_n \cdot u_n - \left(\mu \cdot \frac{\partial u}{\partial y} \right)_n \\ J_{sy} = (\rho v)_s \cdot u_s - \left(\mu \cdot \frac{\partial u}{\partial y} \right)_s \end{cases}$$

||
l'équation discrétisée devient

$$\longrightarrow a_e u_e = a_w u_w + a_{w+1} u_{w+1} + a_n u_n + a_s u_s + (p_p - p_E) A_e$$

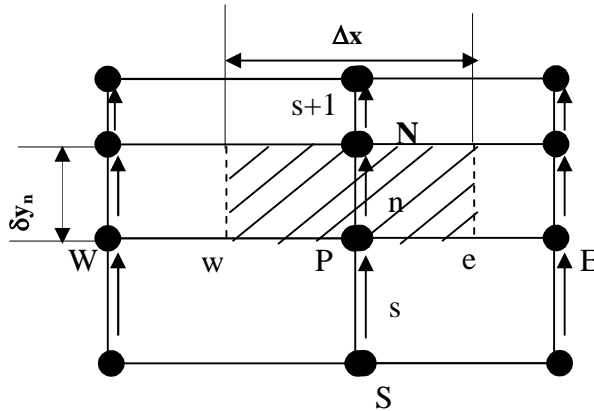
avec :

$$\left\{ \begin{array}{l} a_w = D_{Px} \cdot A(|R_{ePx}|) + [F_{Px}, 0] \\ a_{w+1} = D_{Ex} \cdot A(|R_{eEx}|) + [-F_{Ex}, 0] \\ a_s = [F_{sy}, 0] \\ a_n = [-F_{ny}, 0] \\ a_e = a_w + a_{w+1} + a_s + a_n \end{array} \right. \quad \text{et} \quad \left\{ \begin{array}{l} D_{Ex} = \left(\frac{\mu_E}{\Delta x} \right) \delta y_n \quad ; \quad F_{Ex} = (\rho u)_E \cdot \delta y_n \\ D_{Px} = \left(\frac{\mu_P}{\Delta x} \right) \delta y_n \quad ; \quad F_{Px} = (\rho u)_P \cdot \delta y_n \\ D_{Ny} = \left(\frac{\mu_N}{\Delta y} \right) \delta x_e \quad ; \quad F_{ny} = (\rho v)_n \cdot \delta x_e \\ D_{Py} = \left(\frac{\mu_P}{\Delta y} \right) \delta x_e \quad ; \quad F_{sy} = (\rho v)_s \cdot \delta x_e \\ R_{ePx} = \frac{F_{Px}}{D_{Px}} \\ R_{eEx} = \frac{F_{Ex}}{D_{Ex}} \end{array} \right.$$



$$a_e u_e = \sum a_{nb} u_{nb} + A_e (p_p - p_E)$$

Composante suivant l'axe y : ($\phi=v$)



Représentation du volume de contrôle $-V_n-$.

$$\rho u \cdot \frac{\partial v}{\partial x} - \mu \cdot \frac{\partial^2 v}{\partial x^2} + \rho v \cdot \frac{\partial v}{\partial y} - \mu \cdot \frac{\partial^2 v}{\partial y^2} = -\frac{\partial p}{\partial y}$$

$$\frac{\partial J_x}{\partial x} + \frac{\partial J_y}{\partial y} = -\frac{\partial p}{\partial y}$$

Intégration autour de v_n :
($\Delta x \cdot \delta y_n$)

$$\begin{cases} J_x = \rho u \cdot v - \mu \cdot \frac{\partial v}{\partial x} \\ J_y = \rho v \cdot v - \mu \cdot \frac{\partial v}{\partial y} \end{cases}$$

$$(J_{ex} - J_{wx}) \cdot \delta y_n + (J_{Ny} - J_{py}) \cdot \Delta x = (p_p - p_N) \cdot \Delta x$$

avec :

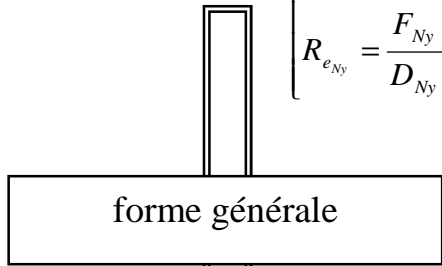
$$\begin{cases} J_{ex} = (\rho u)_e \cdot v_e - \left(\mu \cdot \frac{\partial v}{\partial x} \right)_e \\ J_{wx} = (\rho u)_w \cdot v_w - \left(\mu \cdot \frac{\partial v}{\partial x} \right)_w \\ J_{Ny} = (\rho v)_N \cdot v_N - \left(\mu \cdot \frac{\partial v}{\partial y} \right)_N \\ J_{py} = (\rho v)_p \cdot v_p - \left(\mu \cdot \frac{\partial v}{\partial y} \right)_p \end{cases}$$

||
l'équation discrétisée devient

$$\longrightarrow a_n v_n = a_{s+1} v_{s+1} + a_s v_s + a_e v_e + a_w v_w + (p_P - p_N) A_n$$

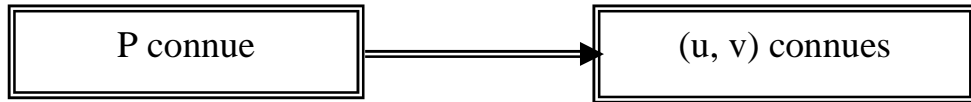
avec :

$\left\{ \begin{array}{l} a_w = [F_{wx}, 0] \\ a_s = D_{Py} \cdot A(R_{ePy}) + [F_{Py}, 0] \\ a_e = [-F_{ex}, 0] \\ a_{s+1} = D_{Ny} \cdot A(R_{eNy}) + [F_{Ny}, 0] \\ a_n = a_w + a_s + a_{s+1} + a_e \end{array} \right.$	et	$\left\{ \begin{array}{l} D_{Ex} = \left(\frac{\mu_E}{\Delta x} \right) \delta y_n \quad ; \quad F_{ex} = (\rho u)_e \cdot \delta y_n \\ D_{Px} = \left(\frac{\mu_P}{\Delta x} \right) \delta y_n \quad ; \quad F_{wx} = (\rho u)_w \cdot \delta y_n \\ D_{Ny} = \left(\frac{\mu_N}{\Delta y} \right) \delta x_e \quad ; \quad F_{Ny} = (\rho v)_N \cdot \delta x_e \\ D_{Py} = \left(\frac{\mu_P}{\Delta y} \right) \delta x_e \quad ; \quad F_{Py} = (\rho v)_P \cdot \delta x_e \\ R_{ePy} = \frac{F_{Py}}{D_{Py}} \\ R_{eNy} = \frac{F_{Ny}}{D_{Ny}} \end{array} \right.$
---	----	---

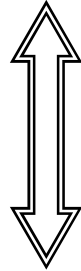


$$a_n v_n = \sum a_{nb} v_{nb} + A_n (p_P - p_N)$$

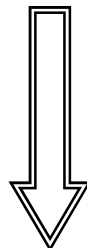
$$\left\{ \begin{array}{l} a_e u_e = \sum a_{nb} u_{nb} + A_e (p_P - p_E) \quad (1) \\ a_n v_n = \sum a_{nb} v_{nb} + A_n (p_P - p_N) \quad (2) \end{array} \right.$$



Choix initial



$$\begin{cases} a_e u_e^* = \sum a_{nb} u_{nb}^* + A_e (p_P^* - p_E^*) & (1) \\ a_n v_n^* = \sum a_{nb} v_{nb}^* + A_n (p_P^* - p_N^*) & (2) \end{cases} \quad \text{et} \quad \begin{cases} p = p + p' & (1) \\ u = u + u' & (2) \\ v = v + v' & (3) \end{cases}$$



$$a_e u_e' = \sum a_{nb} u_{nb}' + A_e (p_P' - p_E')$$

Algorithme de SIMPLE

$$\sum a_{nb} u_{nb}' \approx 0.$$

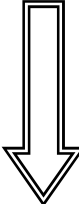
FORMULES DE CORRECTION DES VITESSES

$$u_e' = d_e (p_P' - p_E')$$

$$d_e = \frac{A_e}{a_e}$$

$$u_w' = d_w (p_P' - p_W')$$

$$d_w = \frac{A_w}{a_w}$$



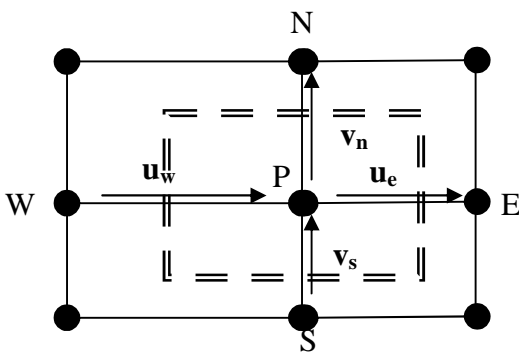
$$\begin{cases} u_e = u_e^* + d_e(p_P' - p_E') \\ u_w = u_w^* + d_w(p_P' - p_W') \end{cases} \quad \text{et} \quad \begin{cases} v_n = v_n^* + d_n(p_P' - p_N') \\ v_s = v_s^* + d_s(p_P' - p_S') \end{cases}$$

$$\begin{cases} d_n = \frac{A_n}{a_n} \\ d_s = \frac{A_s}{a_s} \end{cases}$$

ÉQUATION DE CORRECTION DE PRESSION

$$\frac{\partial(\rho u)}{\partial x} + \frac{\partial(\rho v)}{\partial y} = 0$$

Intégration



Représentation du volume de contrôle total.

$$\{(\rho u)_e - (\rho u)_w\} \Delta y + \{(\rho v)_n - (\rho v)_s\} \Delta x = 0$$

$$\left\{ \begin{aligned} & \left\{ \rho_e (u_e^* + d_e(p_P' - p_E')) - \rho_w (u_w^* + d_w(p_P' - p_W')) \right\} \Delta y \\ & + \left\{ \rho_n (v_n^* + d_n(p_P' - p_N')) - \rho_s (v_s^* + d_s(p_P' - p_S')) \right\} \Delta x = 0 \end{aligned} \right.$$



$$a_p p_p' = a_E p_E' + a_W p_W' + a_N p_N' + a_S p_S' + b$$

$$a_E = \rho_e \cdot d_e \cdot \Delta y$$

$$a_N = \rho_n \cdot d_n \cdot \Delta x$$

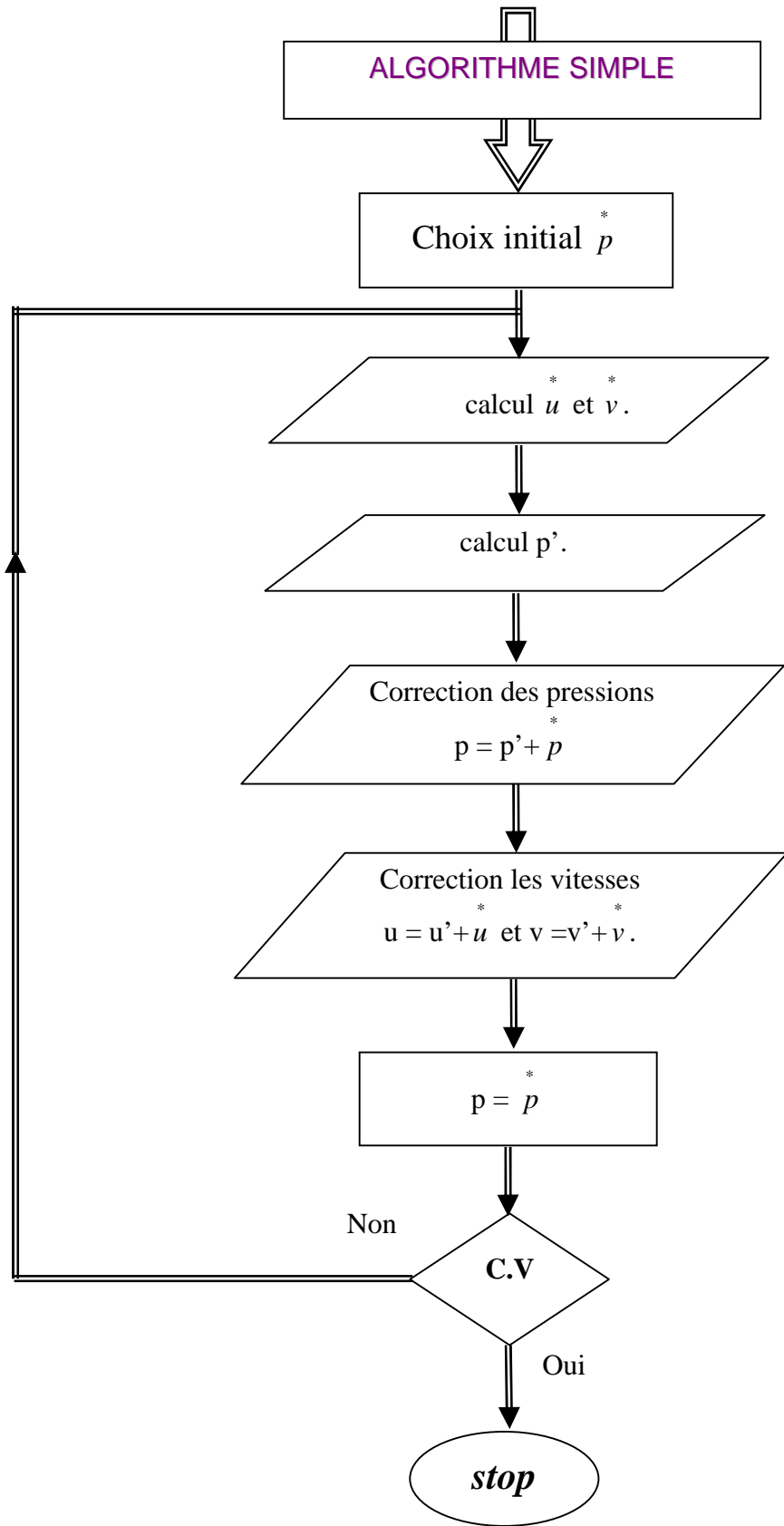
$$a_W = \rho_w \cdot d_w \cdot \Delta y$$

$$a_S = \rho_s \cdot d_s \cdot \Delta x$$

$$a_p = a_E + a_W + a_N + a_S$$

$$b = \left\{ (\rho u)_w^* - (\rho u)_e^* \right\} \Delta y + \left\{ (\rho v)_s^* - (\rho v)_n^* \right\} \Delta x$$

REMARQUE



COMMENT FAIT-ON LE CHOIX DES PRESSIONS ?

ALGORITHME SIMPLER (PATANKAR 1979),

un choix initial u^* et v^*

$$\begin{cases} \hat{u} = \frac{\sum a_{nb} u_{nb}^*}{a_e} \\ \hat{v} = \frac{\sum a_{nb} v_{nb}^*}{a_n} \end{cases}$$

$$\begin{cases} u_e = \hat{u}_e + d_e(p_P - p_E) \\ u_w = \hat{u}_w + d_w(p_P - p_W) \\ v_n = \hat{v}_n + d_n(p_P - p_N) \\ v_s = \hat{v}_s + d_s(p_P - p_S) \end{cases}$$

$$\begin{cases} \left\{ \rho_e(\hat{u}_e + d_e(p_P - p_E)) - \rho_w(\hat{u}_w + d_w(p_P - p_W)) \right\} \Delta y \\ + \left\{ \rho_n(\hat{v}_n + d_n(p_P - p_N)) - \rho_s(\hat{v}_s + d_s(p_P - p_S)) \right\} \Delta x = 0 \end{cases}$$

EQUATION DE PRESSION

$$a_P p_P = a_E p_E + a_W p_W + a_N p_N + a_S p_S + b$$

$$\begin{cases} a_E = \rho_e \cdot d_e \cdot \Delta y \\ a_N = \rho_n \cdot d_n \cdot \Delta x \\ a_W = \rho_w \cdot d_w \cdot \Delta y \\ a_S = \rho_s \cdot d_s \cdot \Delta x \\ a_P = a_E + a_W + a_N + a_S \\ b = \left\{ (\hat{\rho}u)_w - (\hat{\rho}u)_e \right\} \Delta y + \left\{ (\hat{\rho}v)_s - (\hat{\rho}v)_n \right\} \Delta x \end{cases}$$

EQUATION DE LA FONCTION DE COURANT

$$\begin{cases} \frac{\partial \psi}{\partial x} = -\rho \cdot B \cdot v & \rightarrow (1) \\ \frac{\partial \psi}{\partial y} = \rho \cdot B \cdot u & \rightarrow (2) \end{cases}$$

CALCUL DE LA FONCTION DE COURANT

Calcul de la 1^{ière} valeur de ψ / x

$$\psi_P - \psi_S = \rho_s \cdot u_s \cdot \Delta y \quad \rightarrow \quad \psi_P = \psi_S + \rho_s \cdot u_s \cdot \Delta y$$

Calcul des valeurs de ψ / x

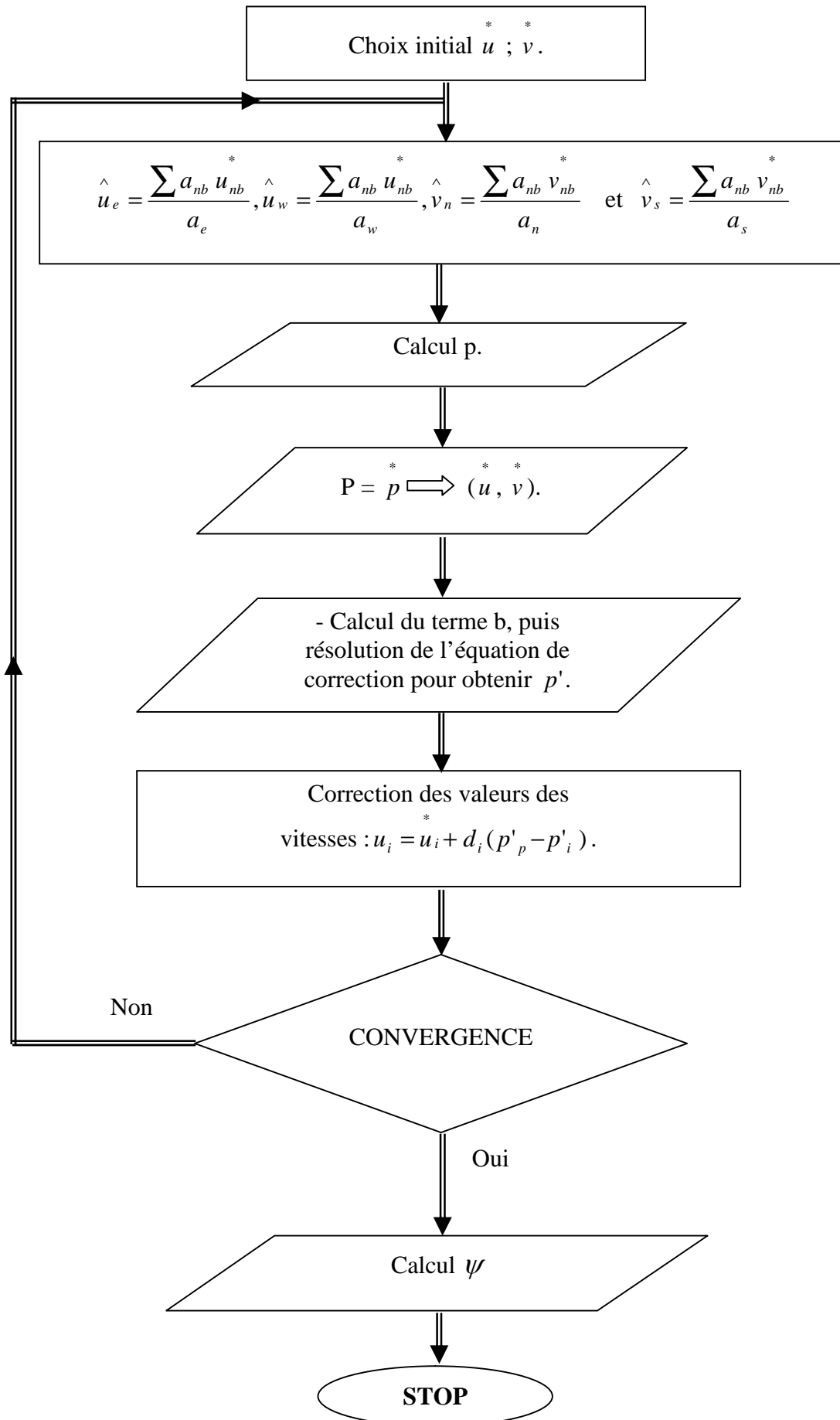
$$\psi_E - \psi_P = -\rho_e \cdot u_e \cdot \Delta x \quad \rightarrow \quad \psi_E = \psi_P - \rho_e \cdot u_e \cdot \Delta x$$

densité et viscosité dynamique aux interfaces

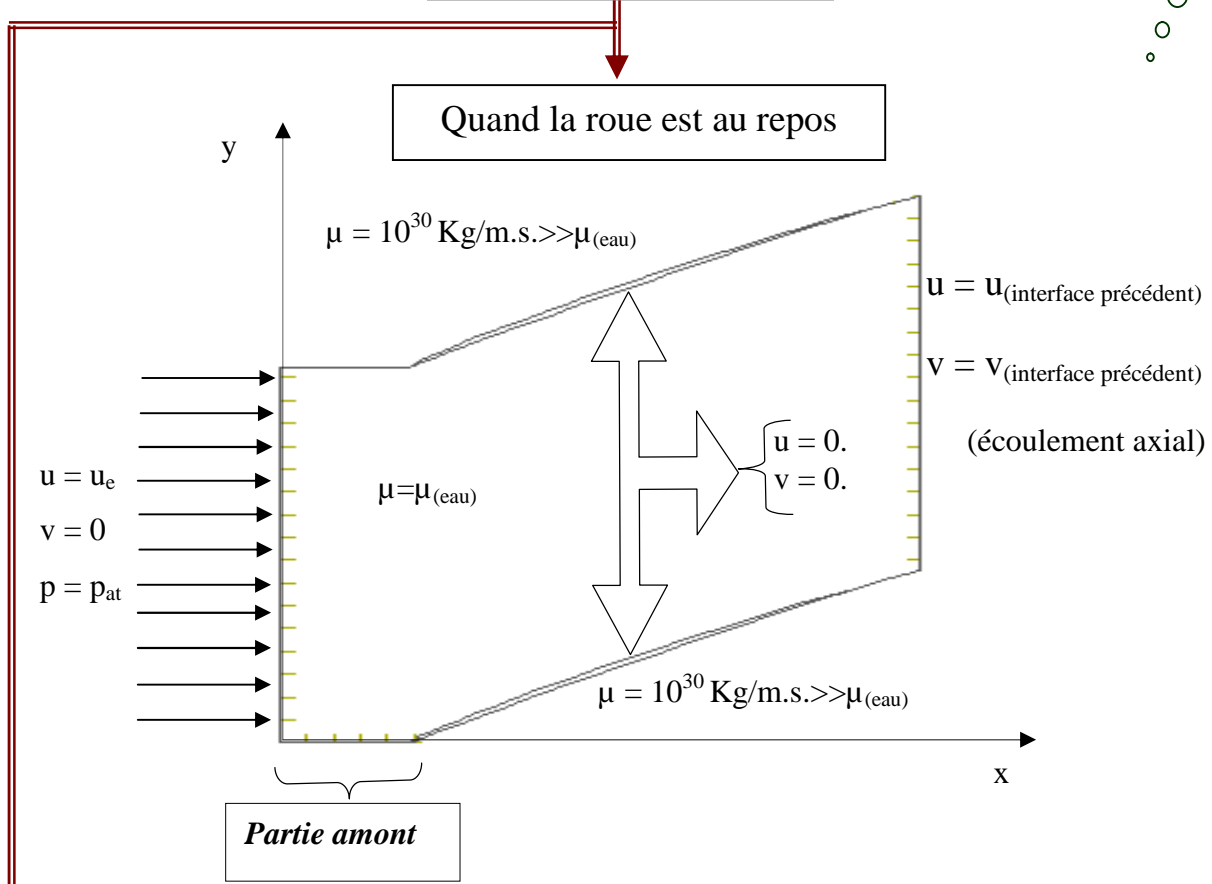
$$\begin{cases} \mu_e = f_e \cdot \mu_E + (1 - f_e) \cdot \mu_P \\ \rho_e = f_e \cdot \rho_E + (1 - f_e) \cdot \rho_P \end{cases}$$

$$f_e = \frac{\Delta x}{2 \cdot (\delta x_e)}$$

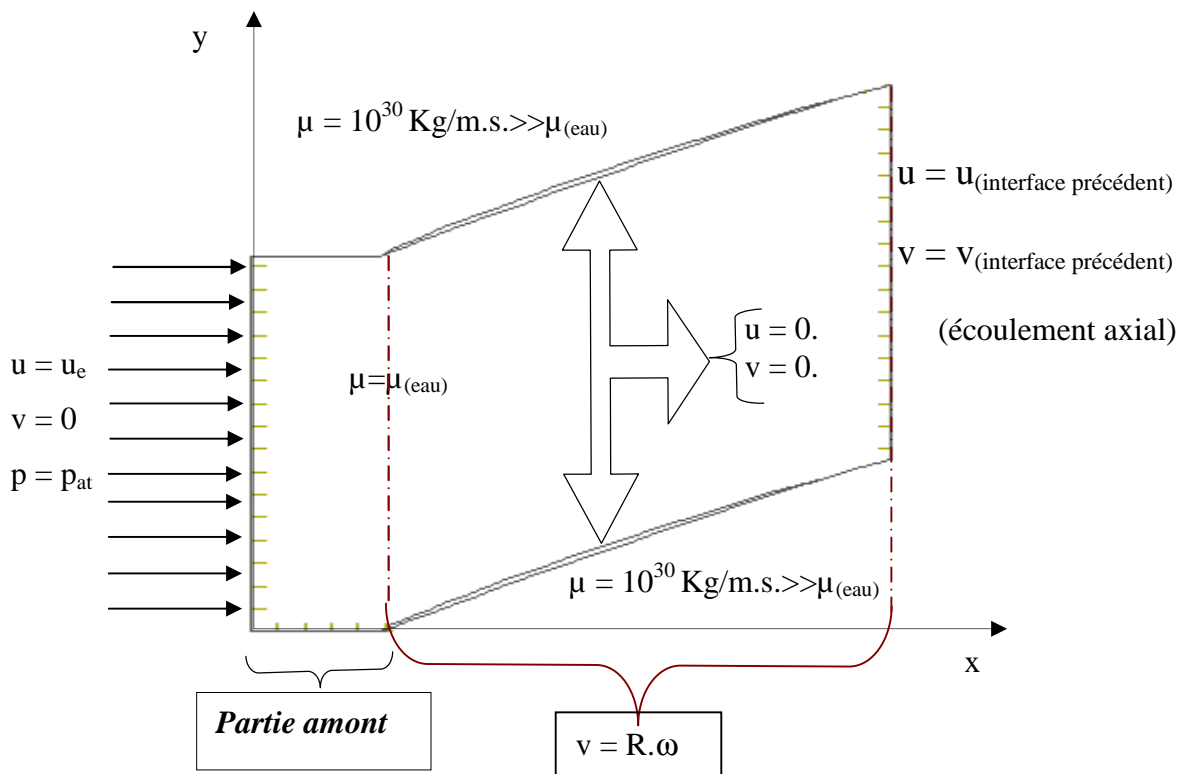
DIFFERENTES ETAPES DE L'ALGORITHME-SIMPLER-



CONDITIONS AUX LIMITES



Quand la roue est en rotation avec une vitesse N



RÉSOLUTION DES ÉQUATIONS ALGÈBRIQUES

MÉTHODE DE T.D.M.A

RELAXATION PAR BLOC

$$A_{i,j} \phi_{i,j} = B_{i,j} \phi_{i+1,j} + C_{i,j} \phi_{i-1,j} + D_{i,j} \phi_{i,j+1} + E_{i,j} \phi_{i,j-1} \quad i=1,L, j=1,M$$

A une itération donnée

$$\phi_{i,j} = \phi_{i,j}^* + \alpha \phi_j'$$

$\phi_{i,j}^*$ la valeur trouvée au nœud i,j.

$\phi_{i,j}$ la valeur corrigée.

ϕ_j' le terme de correction pour le bloc j.

POUR UN BLOC J=1 :

$$\begin{cases} A_{1,1} [\phi_{1,1}^* + \phi_1'] = B_{1,1} [\phi_{2,1}^* + \phi_1'] + C_{1,1} [\quad] + D_{1,1} [\phi_{3,1}^* + \phi_1'] + E_{1,1} [\quad] \\ A_{2,1} [\phi_{2,1}^* + \phi_1'] = B_{2,1} [\phi_{3,1}^* + \phi_1'] + C_{2,1} [\phi_{1,1}^* + \phi_1'] + D_{2,1} [\phi_{2,2}^* + \phi_1'] + E_{2,1} [\quad] \\ \dots \\ A_{L-1,1} [\phi_{L-1,1}^* + \phi_1'] = B_{L-1,1} [\phi_{L,1}^* + \phi_1'] + C_{L-1,1} [\phi_{L-2,1}^* + \phi_1'] + D_{L-1,1} [\phi_{L-1,2}^* + \phi_1'] + E_{L-1,1} [\quad] \\ A_{L,1} [\phi_{L,1}^* + \phi_1'] = B_{L,1} [\quad] + C_{L,1} [\phi_{L-1,1}^* + \phi_1'] + D_{L,1} [\phi_{L,2}^* + \phi_1'] + E_{L,1} [\quad] \end{cases}$$

Σ des équations

$$\begin{cases} \sum_1^L [A_{i,1} - B_{i,1} - C_{i,1}] \phi_1' = \sum_1^L D_{i,1} \cdot \phi_2' + \sum_1^L E_{i,1} \cdot [\quad] + \\ \left\{ \sum_1^L (B_{i,1} \cdot \phi_{i+1,1}^* + C_{i,1} \cdot \phi_{i-1,1}^* + D_{i,1} \cdot \phi_{i,2}^* + E_{i,1} \cdot [\quad] - A_{i,1} \phi_{i,1}^*) \right\} \end{cases}$$

POUR UN BLOC J :

$$\left\{ \begin{aligned} \sum_1^L [A_{i,j} - B_{i,j} - C_{i,j}] \phi'_j &= \sum_1^L D_{i,j} \cdot \phi'_{j+1} + \sum_1^L E_{i,j} \cdot \phi'_{j-1} + \\ \left\{ \sum_1^L (B_{i,j} \cdot \phi'_{i+1,j} + C_{i,j} \cdot \phi'_{i-1,j} + D_{i,j} \cdot \phi'_{i,j+1} + E_{i,j} \cdot \phi'_{i,j-1} - A_{i,j} \phi'_{i,j}) \right\} \end{aligned} \right.$$

$$\left\{ \begin{aligned} \alpha_j &= \sum_1^L [A_{i,j} - B_{i,j} - C_{i,j}] \\ \beta_j &= \sum_1^L E_{i,j} \\ \gamma_j &= \sum_1^L D_{i,j} \\ \delta_j &= \left\{ \sum_1^L (B_{i,j} \cdot \phi'_{i+1,j} + C_{i,j} \cdot \phi'_{i-1,j} + D_{i,j} \cdot \phi'_{i,j+1} + E_{i,j} \cdot \phi'_{i,j-1} - A_{i,j} \phi'_{i,j}) \right\} \end{aligned} \right.$$

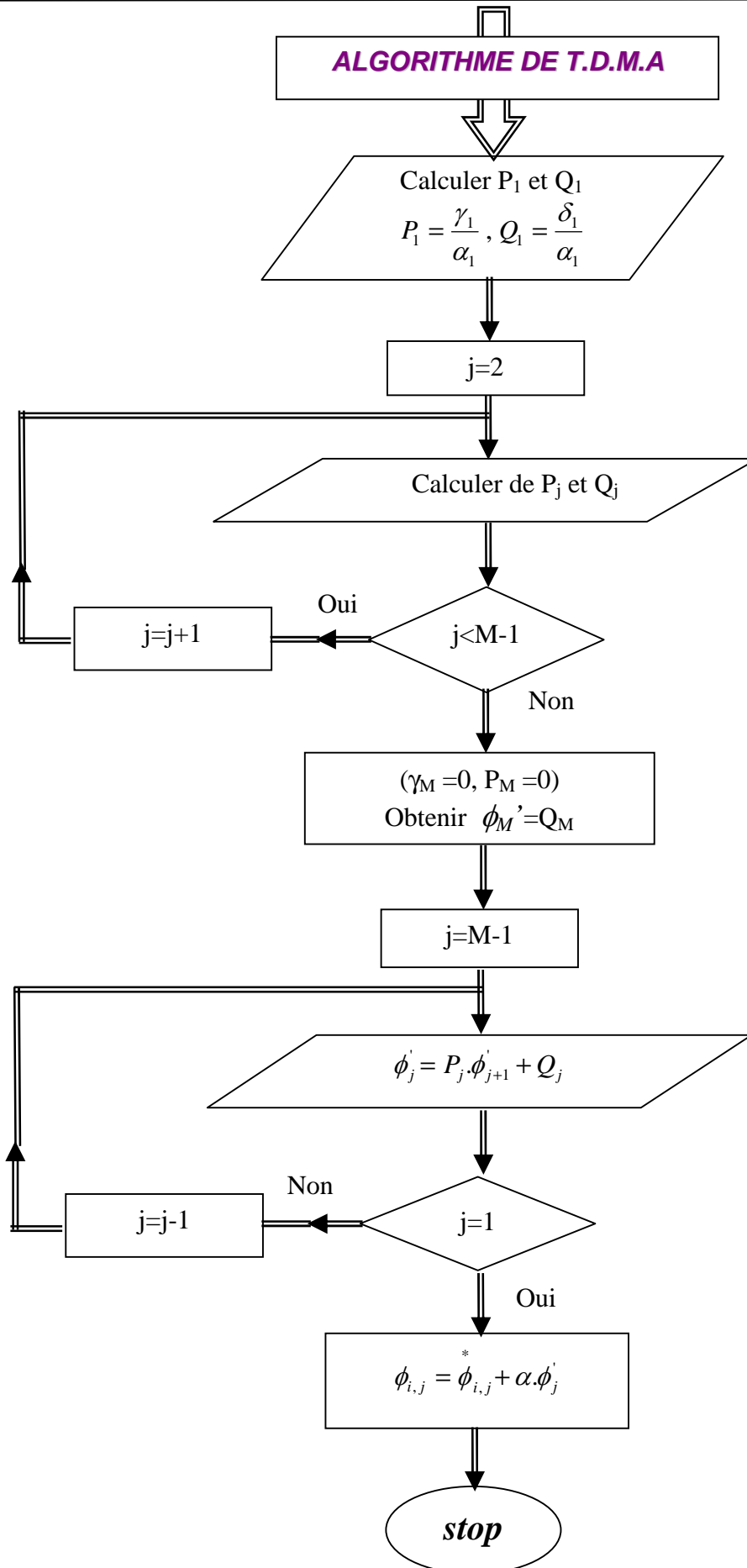
système tridiagonal (T.D.M.A)

$$\left\{ \begin{aligned} \alpha_1 \cdot \phi'_1 &= \beta_1 \cdot \phi'_2 + \gamma_1 \cdot \phi'_2 + \delta_1 \\ \alpha_2 \cdot \phi'_2 &= \beta_2 \cdot \phi'_1 + \gamma_2 \cdot \phi'_3 + \delta_2 \\ &\dots \\ &\dots \\ \alpha_{M-1} \cdot \phi'_{M-1} &= \beta_{M-1} \cdot \phi'_{M-2} + \gamma_{M-1} \cdot \phi'_M + \delta_{M-1} \\ \alpha_M \cdot \phi'_M &= \beta_M \cdot \phi'_{M-1} + \gamma_M \cdot \phi'_M + \delta_M \end{aligned} \right.$$

RESOLUTION DE T.D.M.A

Formule de récurrence

$$\left\{ \begin{aligned} \phi'_j &= P_j \cdot \phi'_{j+1} + Q_j \\ \text{où :} \\ P_j &= \frac{\gamma_j}{\alpha_j - \beta_j \cdot P_{j-1}} \\ Q_j &= \frac{\delta_j + \beta_j \cdot Q_{j-1}}{\alpha_j - \beta_j \cdot P_{j-1}} \end{aligned} \right.$$



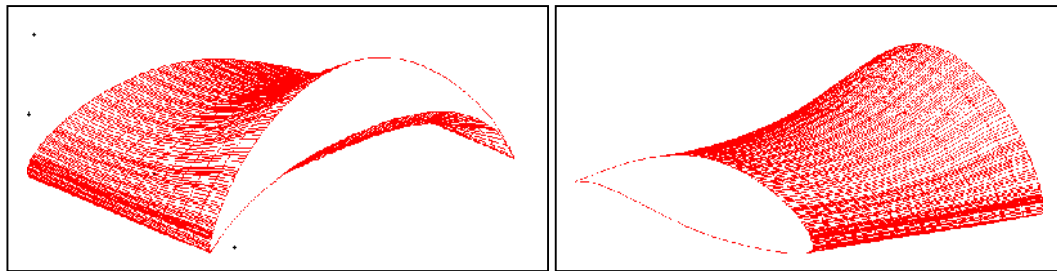
CARACTERISTIQUES DE LA POMPE DE RÉFÉRENCE

Q=0.5160 m³/s. U=8.548 m/s. N=1450 tr/mn. Nr=4. Ns=5.

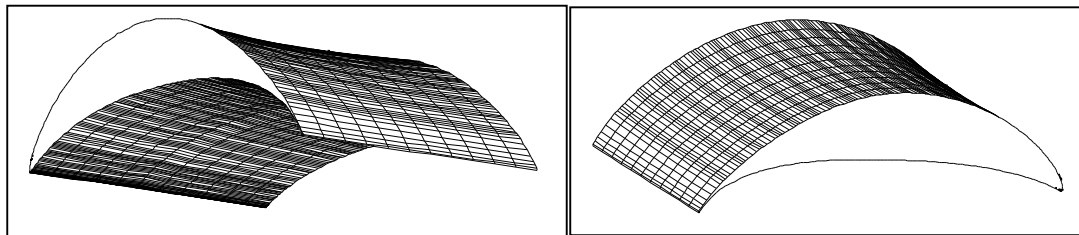
CARACTÉRISTIQUES GÉOMÉTRIQUES

	<i>Rotor</i>			<i>Stator</i>		
Rayon (m)	<i>Corde(m)</i>	γ (°)	δ	<i>Corde(m)</i>	γ (°)	δ
R _i =0.0727	0.1569	24.61	1.39	0.1360	20.68	1.50
R _m =0.1110	0.1547	52.67	0.89	0.1353	16.23	0.97
R _s =0.1517	0.1641	63.33	0.69	0.1564	12.57	0.83

$$Pas = \frac{corde}{sigma}$$



Vues 3D d'une aube de rotor calculée avec « POMPAX »



Vues 3D d'une aube de stator calculée avec « POMPAX »

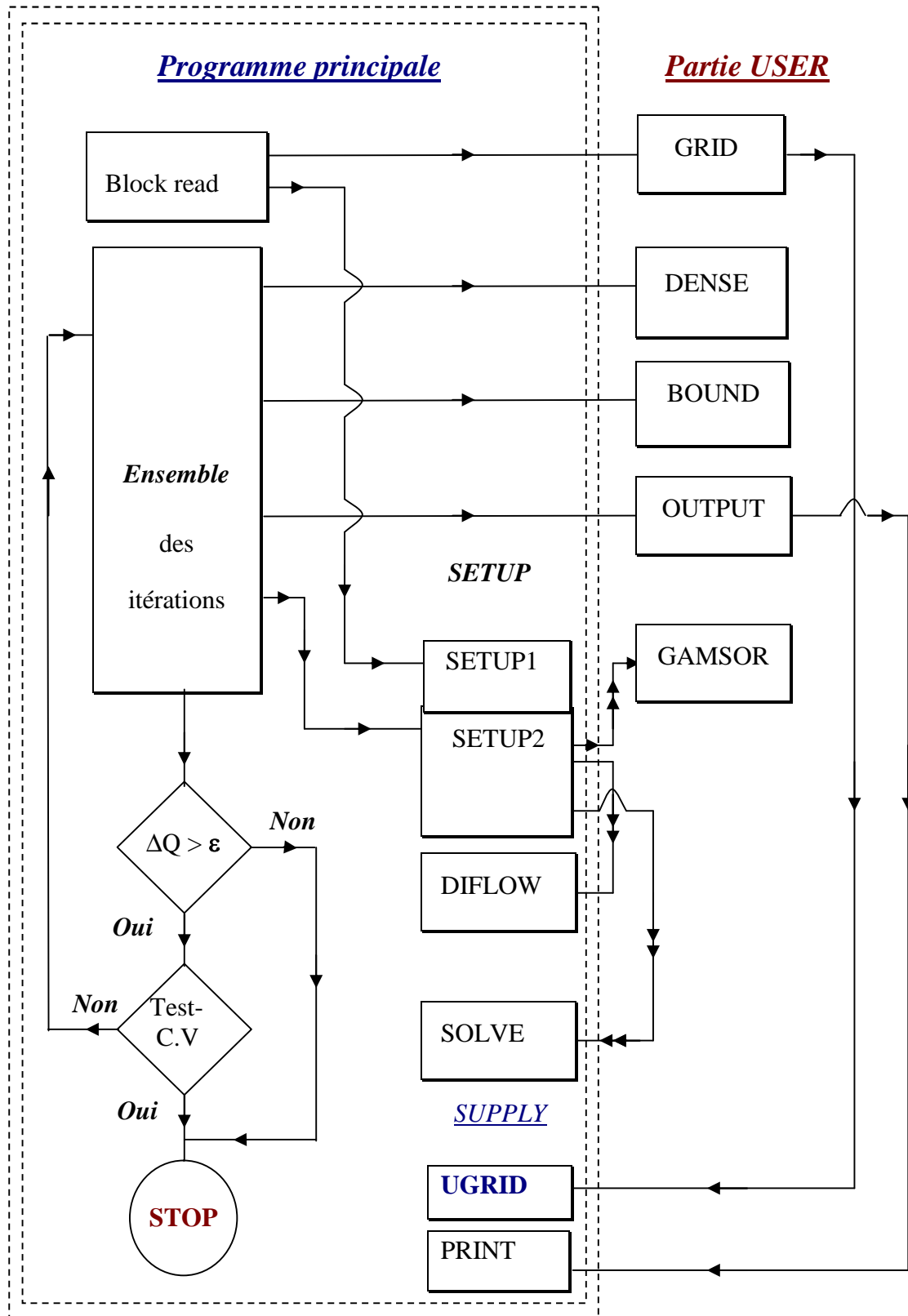
Vues tridimensionnelles des aubes de la pompe.

		$u_e=4.274$ m/s		$u_e=17.097$ m/s	
Rayon (m)	<i>Pas (m)</i>	R _e	q (m ² /s)	R _e	q (m ² /s)
R _i =0.0727	0.1129	54217	0.4825	216869	1.9301
R _m =0.1110	0.1738	83463	0.4728	333852	2.9712
R _s =0.1517	0.2378	114197	1.0164	456790	4.0654

q : est le débit par unité de profondeur.

PRESENTATION DU PROGRAMME

Programme langage Fortran (Fvwb32) 1500 lignes

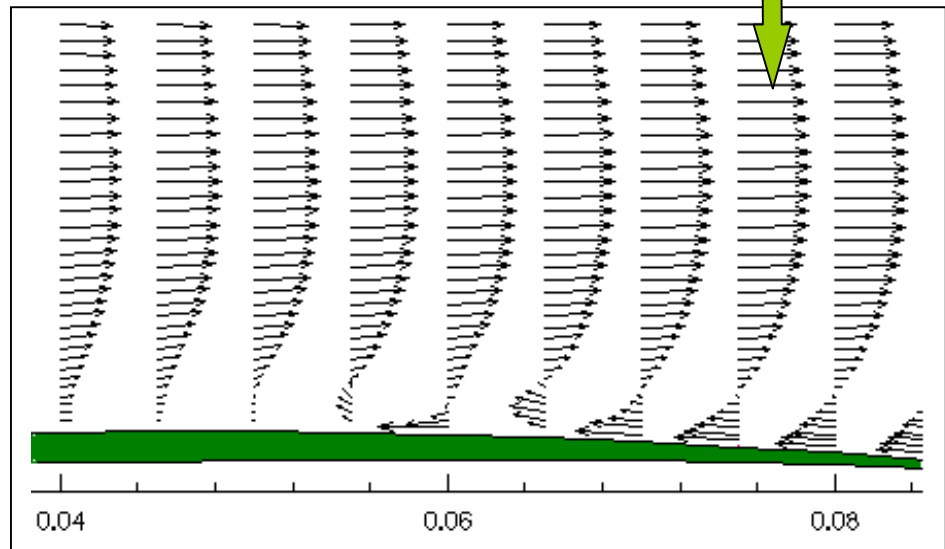
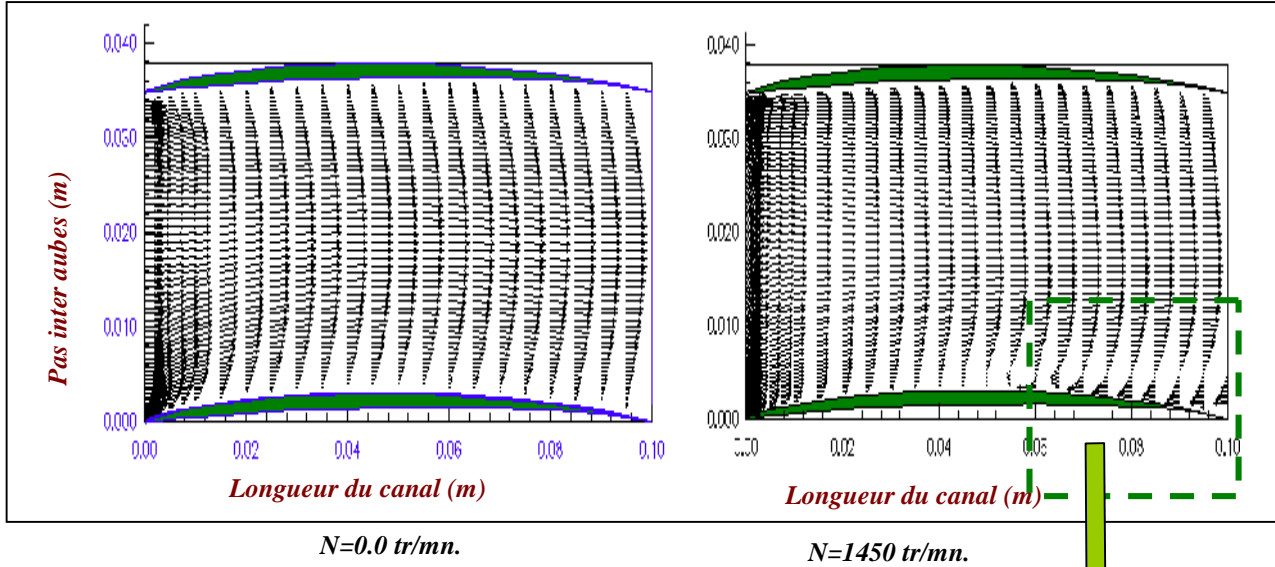


Organigramme de simulation de l'écoulement -S1-

PRESENTATION DES RESULTATS

ÉCOULEMENT DANS UN CANAL NON CALÉ

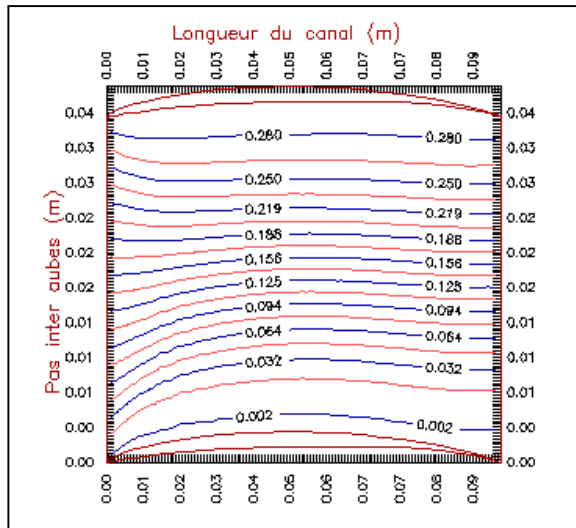
Avec une échelle de 1/5 pour le pas inter- aubages du canal



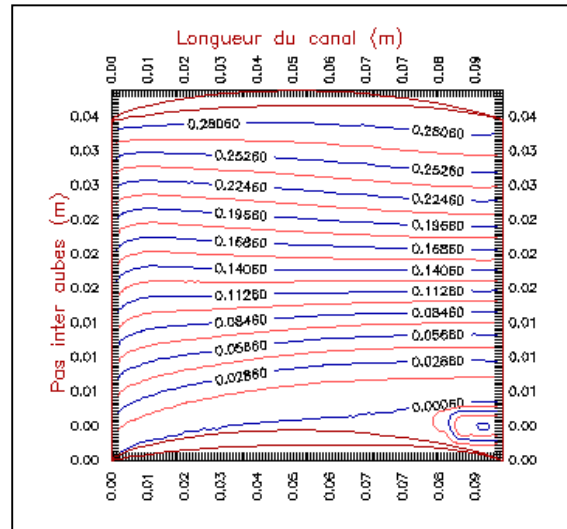
Champ de vitesses dans le canal :

$$R=0.1110 \text{ m}, \mu=0.0089 \text{ Kg/m.s}, u_e=8.548 \text{ m/s.}$$

L'établissement du profil de vitesse dans le canal.



$N=0.0$ tr/mn.



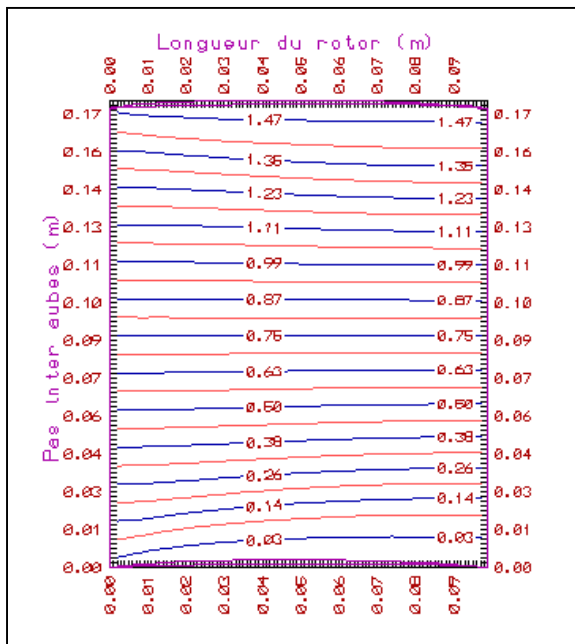
$N=1450$ tr/mn.

Distribution des lignes de courant dans le canal :

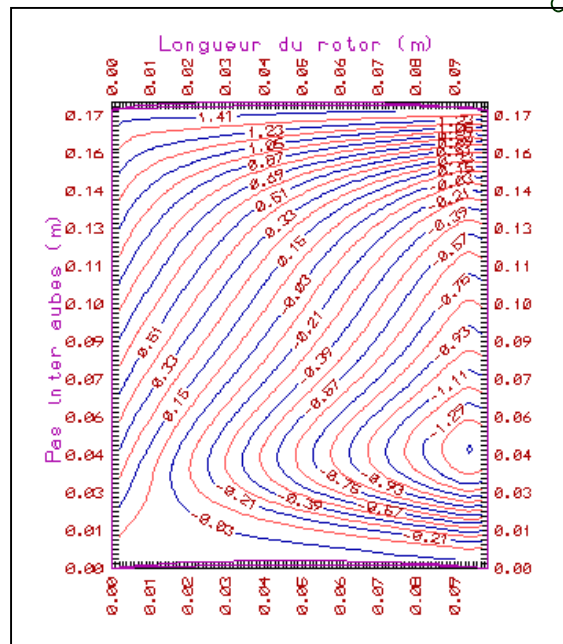
$R=0.1110$ m, $\mu=0.0089$ Kg/m.s, $u_e=8.548$ m/s.

L'ampleur de la recirculation du fluide dépend de la vitesse débitante et la vitesse de rotation.

Écoulement dans le rotor



$N=0$ tr/mn.



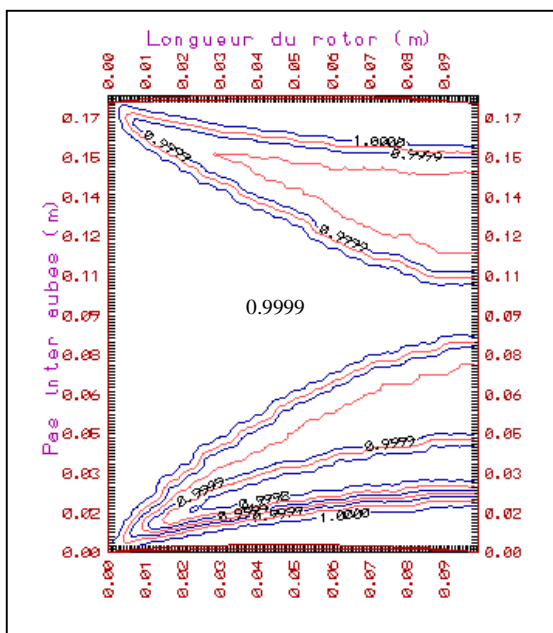
$N=1450$ tr/mn.

Distribution des lignes de courant dans le rotor :

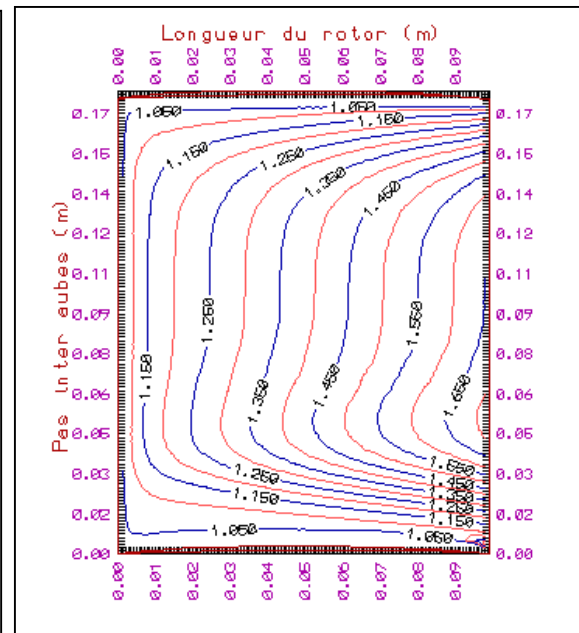
$R=0.1110$ m, $\mu=0.0089$ Kg/m.s, $u_e=8.548$ m/s.

Écoulement de POISEUILLE (écoulement entre deux plaques parallèles).

Regroupement des lignes de courant au niveau de l'intrados.



$N=0$ tr/mn.



$N=1450$ tr/mn.

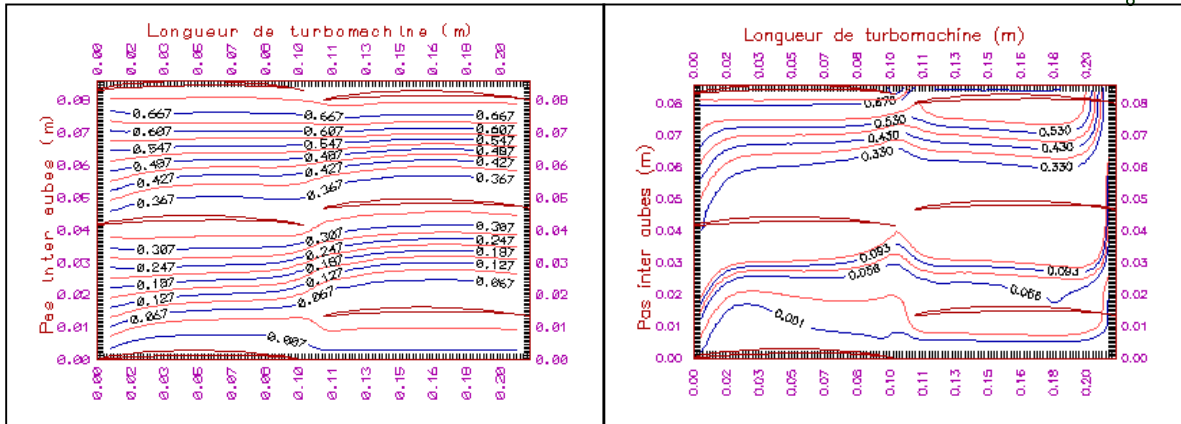
Distribution des isobars (en bar) dans le rotor :

$R=0.1110$ m, $\mu=0.0089$ Kg/m.s, $u_e=8.548$ m/s.

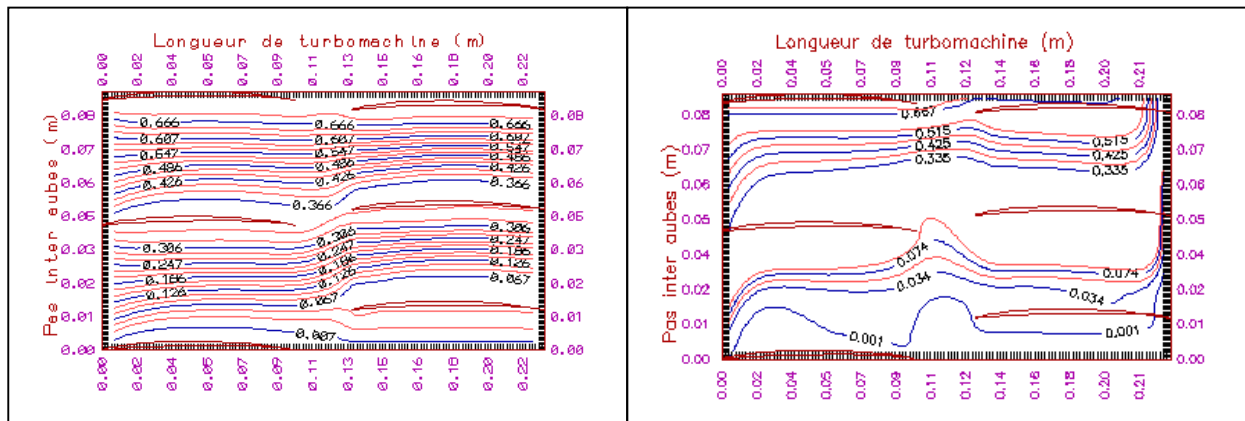
Pression constante ($N=0.$) - Pression atteint environ de 1.7 bar à la sortie.

Écoulement dans la pompe

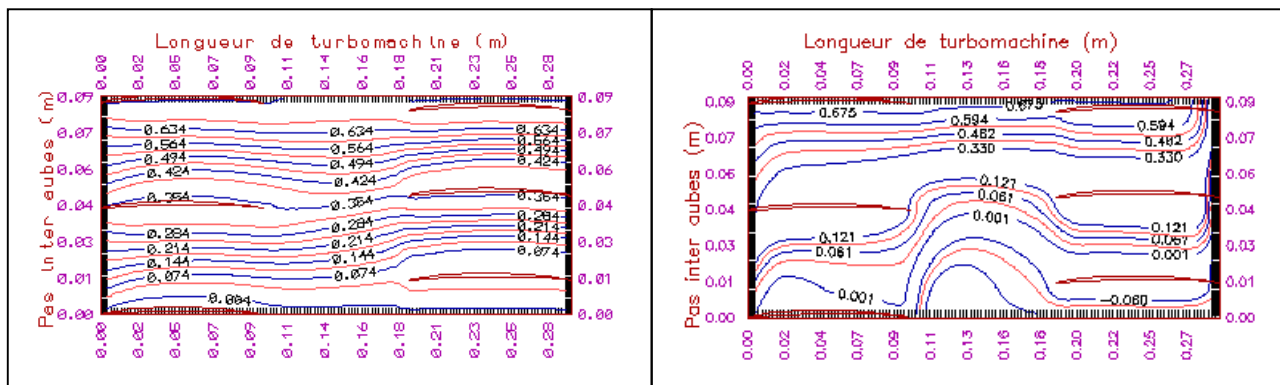
Pour une distance de 05% de la corde du rotor



Pour une distance de 20% de la corde du rotor



Pour une distance de 60% de la corde du rotor



$N=0.0$ tr/mn.

$N=1450$ tr/mn.

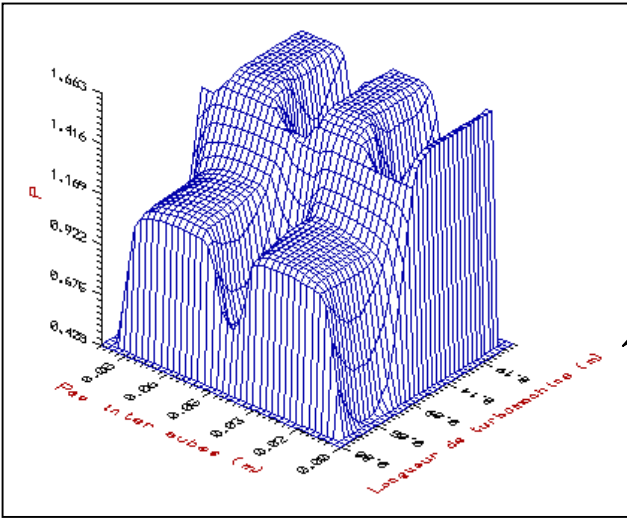
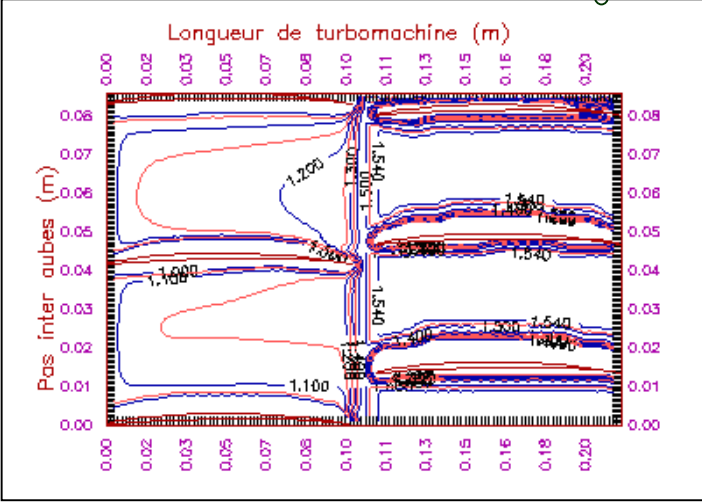
Distribution des lignes de courant dans la pompe :

$$R=0.1110 \text{ m}, \mu=0.0089 \text{ Kg/m.s}, u_e=8.548 \text{ m/s.}$$

Distribution uniforme

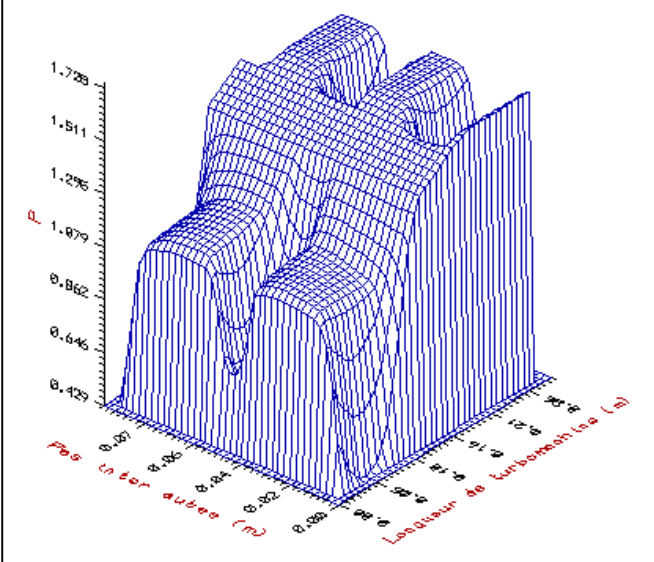
Débit

pour une distance de 05% de la corde du rotor



pour une distance de 20% de la corde du rotor

pour une distance de 60% de la corde du rotor



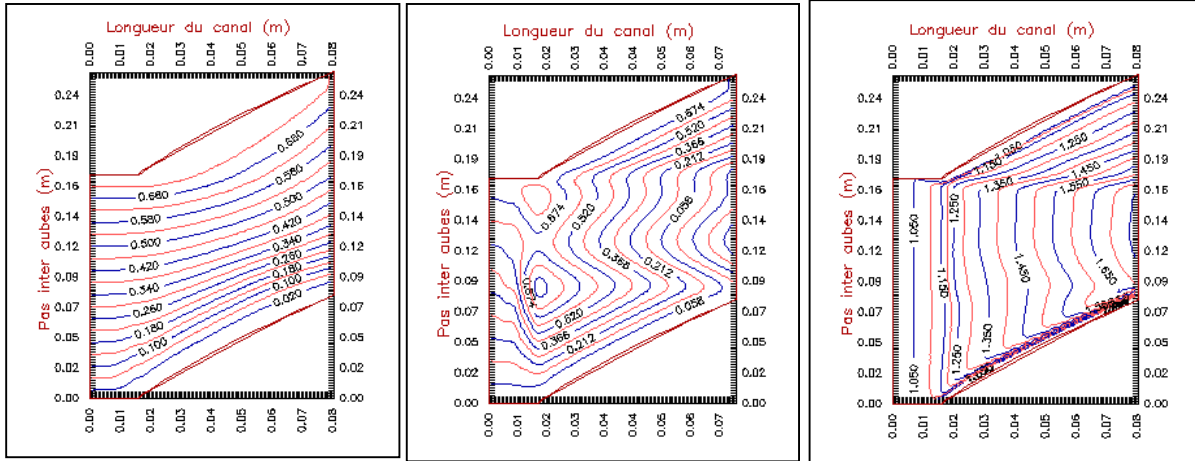
Champ de pression et lignes isobars (en bar) dans la pompe :
 $R=0.1110\text{ m}$, $\mu=0.0089\text{ Kg/m.s}$, $u_e=8.548\text{ m/s}$, $N=1450\text{ tr/mn}$.

ÉCOULEMENT DANS UN CANAL REEL

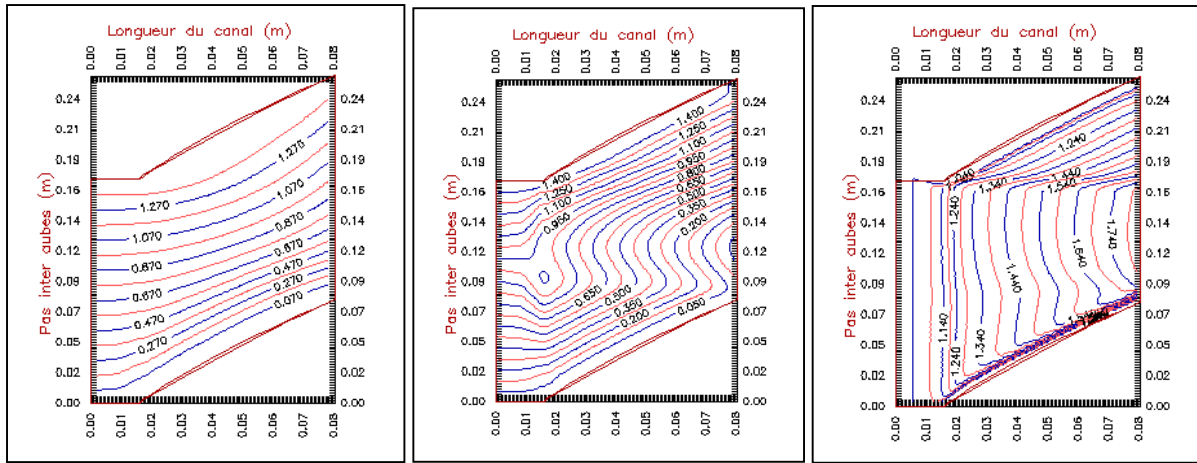


Partie amont

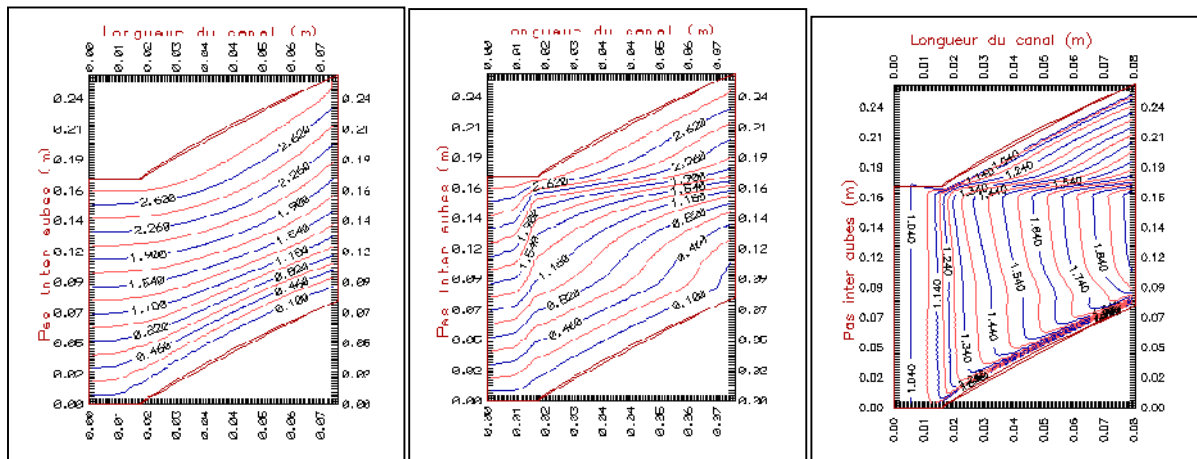
Influence de la vitesse débitante



Avec une vitesse débitante uniforme : $u_1 = u_c/2$. $u_1=4.274$ m/s.



Avec une vitesse débitante uniforme : $u_2 = u_c$. $u_2=8.548$ m/s.



Avec une vitesse débitante uniforme : $u_3 = 2u_c$. $u_3=17.10$ m/s.

$N=0.0$ tr/mn.

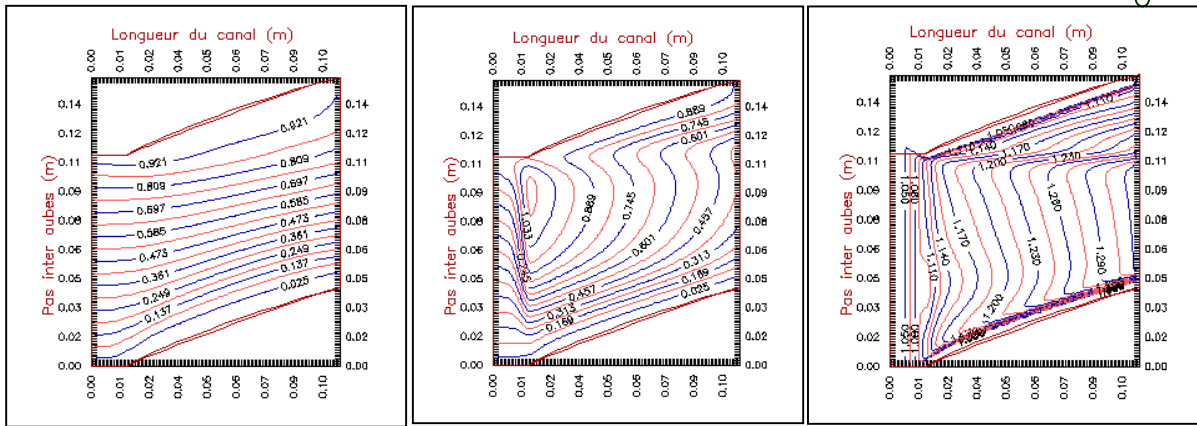
$N=1450$ tr/mn.

Distribution des lignes de courant :

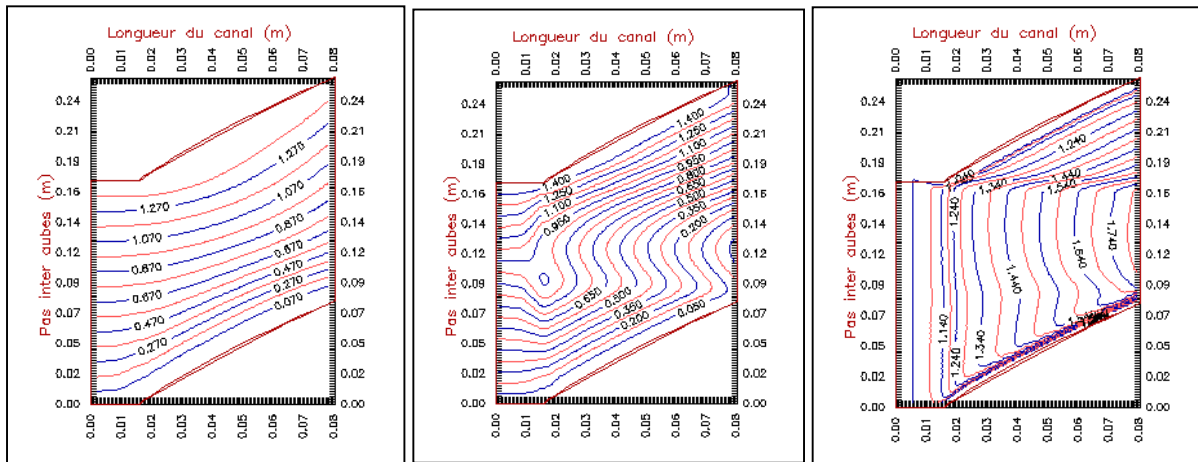
Distribution des isobars (en bar) :

$R=0.1110$ m, $\gamma=52.67^\circ$, $\mu=0.0089$ Kg/m.s.

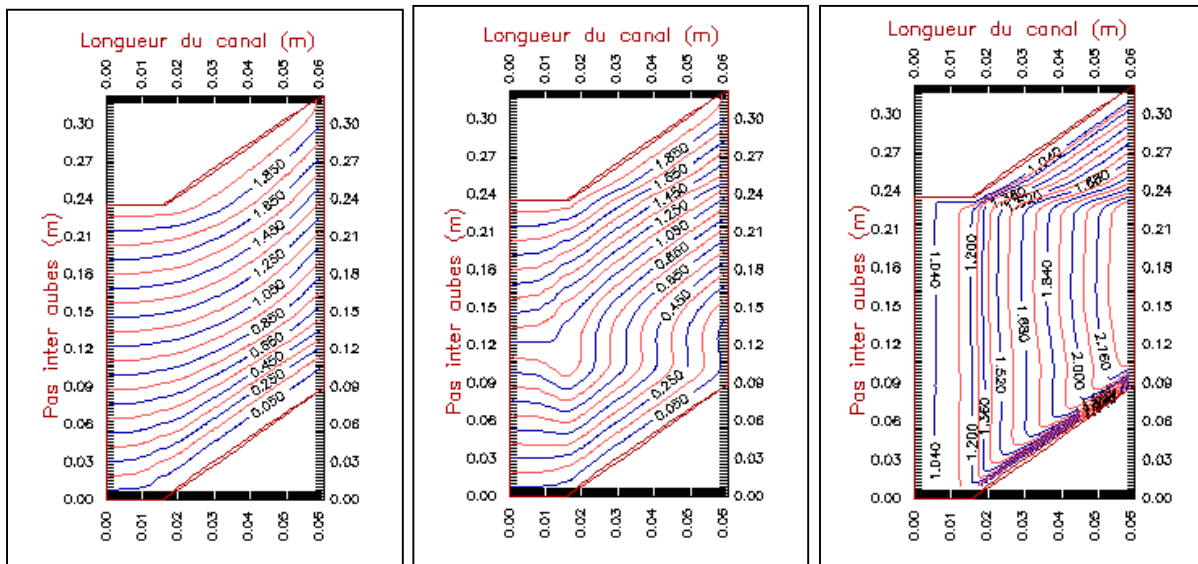
Etude de l'écoulement aube-à-aube dans le rotor



Au niveau du moyeu : $R=0.0727\text{ m}, \gamma=24.61^\circ$.



Au niveau du rayon moyen : $R=0.1110\text{ m}, \gamma=52.67^\circ$.



Au niveau de la ceinture: $R=0.1517\text{ m}, \gamma=63.33^\circ$.

$N=0.0\text{ tr/mn.}$

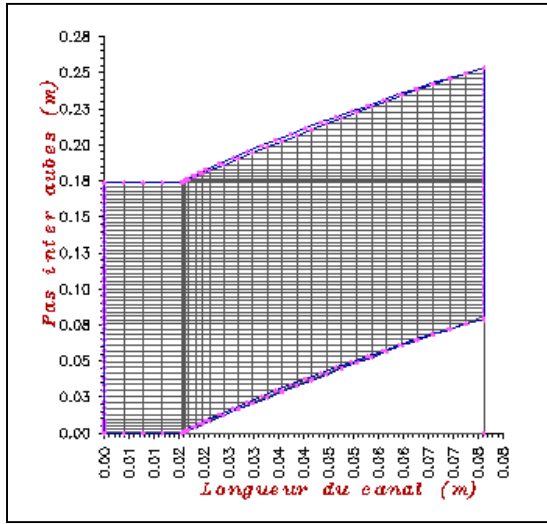
$N=1450\text{tr/mn.}$

Distribution des lignes de courant :

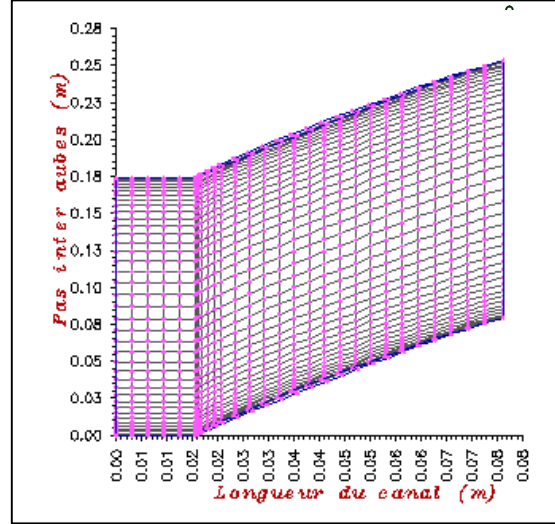
Distribution des isobars (en bar) :

$\mu=0.0089\text{ Kg/m.s, } u_e=8.548\text{ m/s.}$

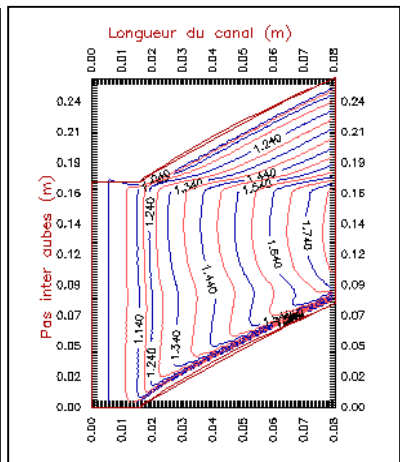
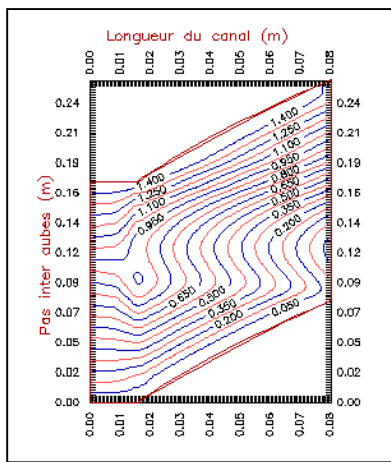
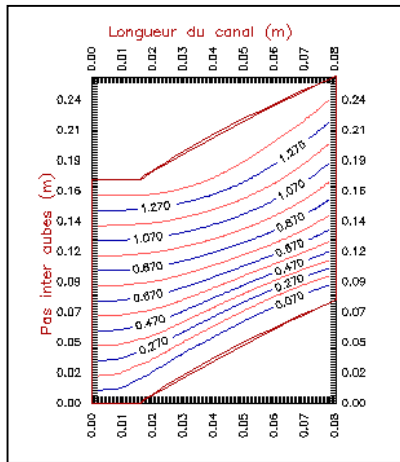
RAFFINAGE DU MAILLAGE



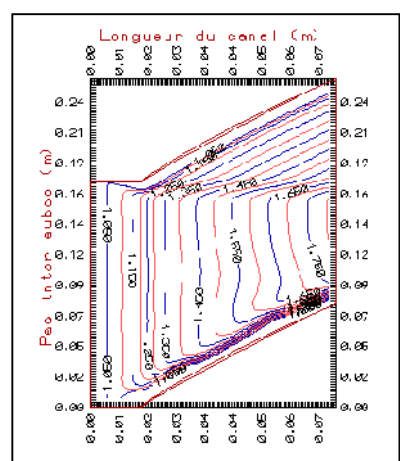
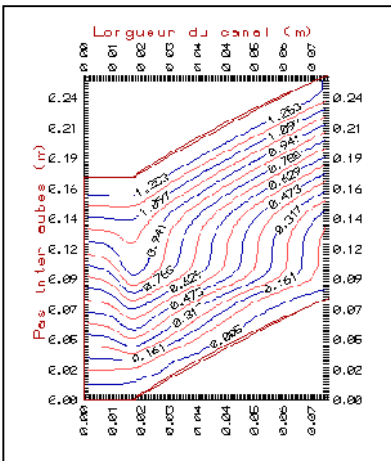
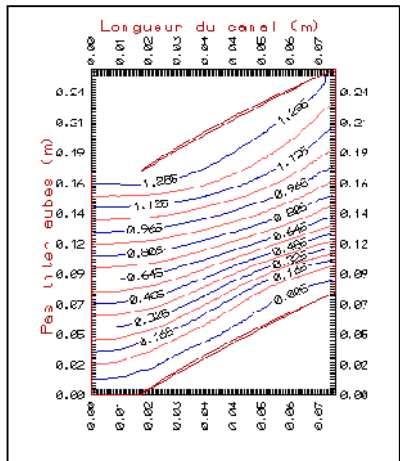
Maillage rectangulaire droit au rayon moyen.



Maillage raffiné au rayon moyen.



Maillage rectangulaire droit



Maillage raffiné.

N=0.0 tr/mn.

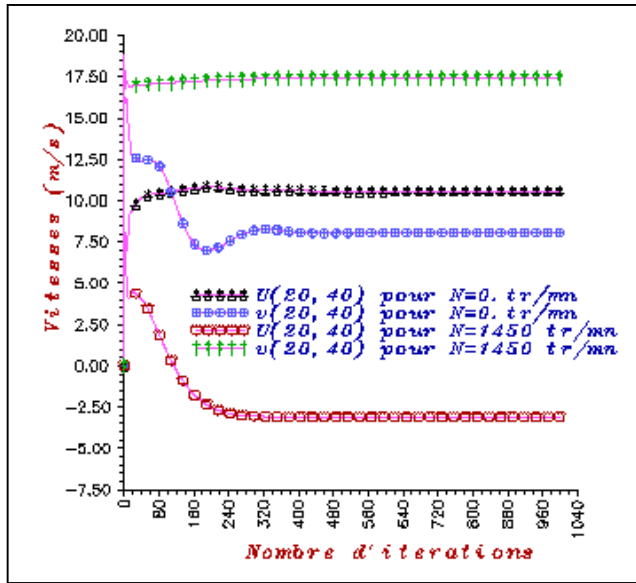
N=1450tr/mn.

Distribution des lignes de courant :

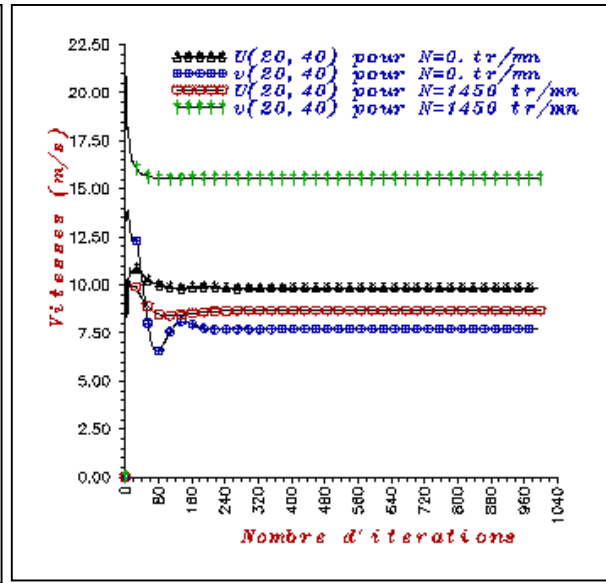
Distribution des isobars (en bar) :

R=0.1110 m, $\gamma=52.67^\circ$, $\mu=0.0089$ Kg/m.s, $u_e=8.548$ m/s.

ETUDE DE LA STABILITE



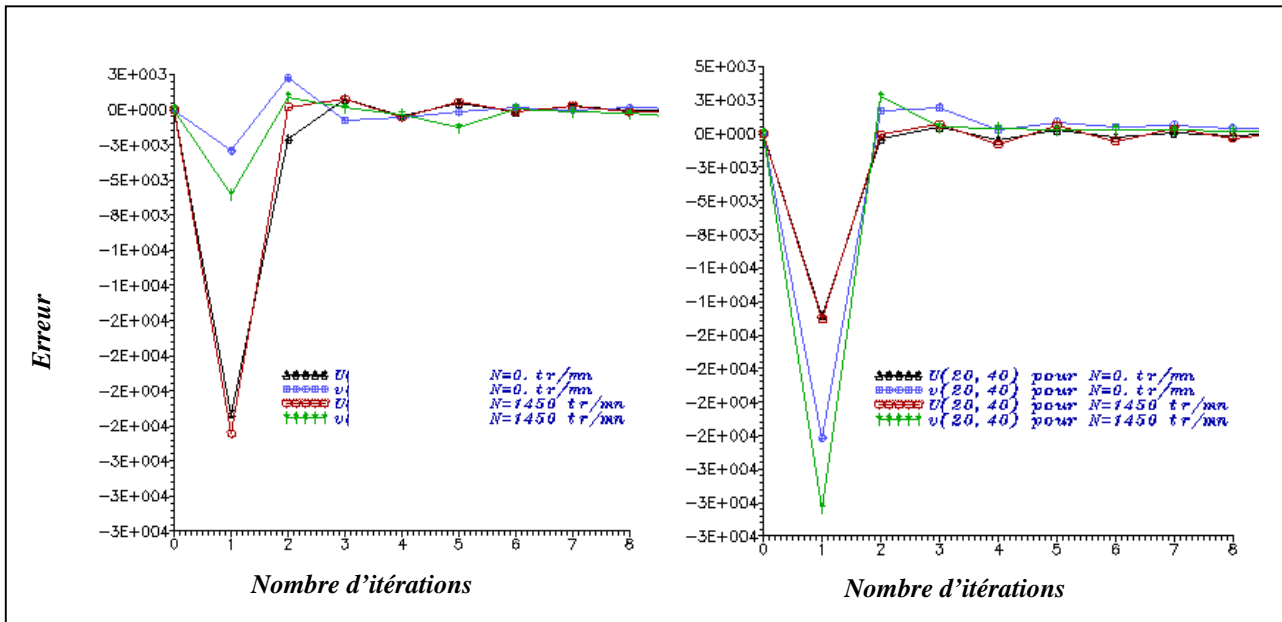
Maillage rectangulaire droit.



Maillage raffiné.

Evolution de la stabilité dans le rotor.

$R=0.1110\text{ m}$, $\gamma=52.67^\circ$, $\mu=0.0089\text{ Kg/m.s}$, $u_e=8.548\text{ m/s}$.



Evolution de l'erreur dans la pompe.

Evolution de l'erreur dans le rotor, ($\gamma=52.67^\circ$).

$R=0.1110\text{ m}$, $\mu=0.0089\text{ Kg/m.s}$, $u_e=8.548\text{ m/s}$.

$$\text{Erreur} = \sum_{(i,j)=(1,1)}^{(L1,M1)} (u^k(i,j) - u^{k+1}(i,j))$$

k : représente l'ordre d'une itération.

k+1 : représente l'ordre d'une itération suivante.

CONCLUSION & PERSPECTIVES

Description d'un écoulement entre deux profils d'aubes dans le rotor et autour des profils d'aubes dans le stator

Étude de l'influence de la distance entre le rotor et le stator

Bonne marche du programme

Calcul les caractéristiques d'un écoulement pour les différentes zones du canal

l'influence de la vitesse débitante sur ces caractéristiques au rayon moyen

simulation d'un écoulement tridimensionnel
(*modélisation de Ch. WU*)

Ralentissement des particules de fluide au niveau de l'extrados et de l'intrados

Pressions obtenues à la sortie du rotor sont satisfaisantes

Les résultats concordent bien avec la réalité du phénomène physique

BUT

Notre but, comme nous l'avons fait pour « *POMPAX* », est d'avoir globalement les caractéristiques de l'écoulement interne en un minimum de temps.

Perspectives

Expliquer tous les phénomènes qui interviennent du fait de la complexité de l'écoulement réel
Simulation de l'écoulement quasi-tridimensionnel

Étude de l'écoulement sur les surfaces méridiennes (S2)

Un couplage entre ces études

